

**АНАЛИТИЧЕСКОЕ ИССЛЕДОВАНИЕ ПРОЦЕССА
ЗАТВЕРДЕВАНИЯ ЖИДКОГО МЕТАЛЛА
В УСТАНОВКАХ НЕПРЕРЫВНОГО ЛИТЬЯ**

Л. Н. Максимов, А. Н. Черепанов

(Новосибирск)

Рассмотрим установившийся процесс затвердевания плоского непрерывного слитка в системе охлаждения с жидкокометаллическим теплоносителем, заполняющим зазор между поверхностью слитка и водоохлаждаемой стенкой кристаллизатора (фиг. 1, где 1 — слиток, 2 — жидкокометаллический теплоноситель, 3 — стенка, 4 — охлаждающая среда, 5 — капиллярное уплотнение). При этом будем считать, что внешнее водяное охлаждение может регулироваться вдоль слитка, например, посредством секционного теплосъема. Наличие жидкокометаллического теплоносителя между поверхностью слитка и водоохлаждаемой стенкой исключает образование газового зазора, что позволяет интенсифицировать процесс охлаждения, делая его равномерным по периметру слитка.

Считаем, что переносом тепла вдоль оси Z за счет теплопроводности можно пренебречь по сравнению с конвективным теплопереносом [1], а температура металла в жидкой фазе равна температуре кристаллизации. При этом влияние перегрева расплава будем учитывать соответствующим увеличением скрытой теплоты плавления в приближенном условии Стефана.

1. Если ширина слитка много больше его толщины, то решение рассматриваемой задачи будет зависеть лишь от двух переменных x и z . Выберем декартову систему координат с осью Z , лежащей в плоскости симметрии слитка, а за начало отсчета примем точку пересечения оси Z с плоскостью, проходящей через точку начала кристаллизации. С учетом принятых выше допущений уравнение, определяющее распределение температуры в твердой фазе, имеет вид

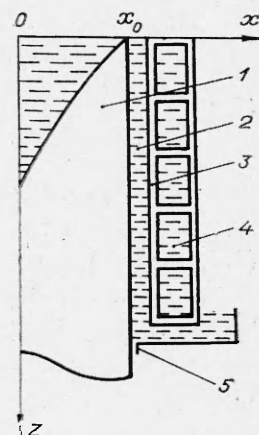
$$(1.1) \quad \rho v C \frac{\partial T}{\partial z} = \frac{\partial}{\partial x} \left(\lambda \frac{\partial T}{\partial x} \right),$$

где v — скорость; ρ — плотность; C — теплоемкость; λ — теплопроводность слитка. При этом указанные теплофизические параметры считаются зависящими от температуры T .

Границочное условие на поверхности слитка запишем в виде закона Ньютона — Рихмана

$$(1.2) \quad \lambda \frac{\partial T}{\partial x} \Big|_{x=x_0} = -k(T|_{x=x_0} - T_c(z)),$$

где $2x_0$ — толщина слитка; T_c — температура охлаждающей среды (воды), которая считается заданной функцией координаты z ; $k = (R_T +$
 8^*



Фиг. 1

$+ R_s + R_c)^{-1}$ — коэффициент теплопередачи; R_T , R_s — термические сопротивления жидкокометаллического теплоносителя и стенки; R_c — внешнее термическое сопротивление.

На поверхности кристаллизации должны соблюдаться условия

$$(1.3) \quad \lambda \frac{\partial T}{\partial x} \Big|_{x=\xi(z)} = \kappa^* \rho_k v \xi'(z);$$

$$(1.4) \quad T \Big|_{x=\xi(z)} = T_k;$$

$$(1.5) \quad \xi(0) = x_0, \quad \xi(h) = 0,$$

где $\kappa^* = \kappa + \frac{1}{2} \frac{(\rho_1 C_1)_{cp}}{\rho_k} \Delta T_{per}$, κ — скрытая теплота плавления; ΔT_{per} — перегрев расплава; $(\rho_1 C_1)_{cp}$ — среднее значение произведения плотности на теплоемкость жидкой фазы; T_k — температура кристаллизации; ρ_k — плотность твердой фазы при $T = T_k$; $\xi(z)$ — поверхность кристаллизации; h — глубина жидкой лунки (штрих в (1.3) означает дифференцирование по z).

Переходя к переменной Кирхгофа

$$(1.6) \quad \Theta = \int_{T_k}^T \lambda(T) dT,$$

запишем уравнения (1.1) — (1.5) в виде

$$(1.7) \quad \frac{v\rho C}{\lambda} \frac{\partial \Theta}{\partial z} = \frac{\partial^2 \Theta}{\partial x^2};$$

$$(1.8) \quad \frac{\partial \Theta}{\partial x} \Big|_{x=x_0} = -k \left(\frac{1}{\lambda_{cp}} \Theta \Big|_{x=x_0} + T_k - T_c \right);$$

$$(1.9) \quad \frac{\partial \Theta}{\partial x} \Big|_{x=\xi(z)} = \kappa^* \rho_k v \xi'(z);$$

$$(1.10) \quad \Theta \Big|_{x=\xi(z)} = 0;$$

$$(1.11) \quad \xi(0) = x_0, \quad \xi(h) = 0.$$

Условие (1.8) получено линеаризацией соотношения (1.2). Для этого теплопроводность $\lambda(T)$, стоящая под знаком интеграла в (1.6), заменилась ее средним значением λ_{cp} в рассматриваемом интервале изменения температуры. Интегрируя (1.6) при $\lambda(T) = \lambda_{cp}$, находим величину Θ в точке $x = x_0$

$$\Theta \Big|_{x=x_0} = \lambda_{cp} (T \Big|_{x=x_0} - T_k).$$

Выразив отсюда температуру $T \Big|_{x=x_0}$ и подставив ее значение в (1.2), получим соотношение (1.8).

Для некоторых металлов температуропроводность $\lambda/\rho C = a$ является более слабой функцией температуры, чем определяющие ее теплофизические величины ρ , C и λ , поэтому с достаточной точностью ее можно считать постоянной. В общем случае будем полагать

$$a_{cp} = \lambda/\rho C,$$

где a_{cp} — среднее значение температуропроводности.

Приведем уравнения (1.6) — (1.11) к безразмерному виду, выбрав в качестве характерных величин x_0 , T_k , λ_k , C_k , где λ_k , C_k — теплопровод-

ность и теплоемкость соответственно при $T = T_c$. Обозначая чертой вверху безразмерные величины, получим

$$(1.12) \quad \bar{\Theta} = \int_1^{\bar{T}} \bar{\lambda}(\bar{T}) d\bar{T};$$

$$(1.13) \quad \text{Pe} \frac{\partial \bar{\Theta}}{\partial \bar{x}} = a_{cp} \frac{\partial^2 \bar{\Theta}}{\partial \bar{x}^2};$$

$$(1.14) \quad \frac{\partial \bar{\Theta}}{\partial \bar{x}} \Big|_{\bar{x}=1} = -\text{Bi} \left(\frac{1}{\bar{\lambda}_{cp}} \bar{\Theta} \Big|_{\bar{x}=1} + 1 - \bar{T}_c \right);$$

$$(1.15) \quad \frac{\partial \bar{\Theta}}{\partial \bar{x}} \Big|_{\bar{x}=\bar{\xi}} = \kappa^* \text{Pe} \bar{\xi}'(\bar{z});$$

$$(1.16) \quad \bar{\Theta} \Big|_{\bar{x}=\bar{\xi}} = 0;$$

$$(1.17) \quad \bar{\xi}(0) = 1, \bar{\xi}(h) = 0,$$

где $\text{Pe} = \frac{\nu p_k C_k x_0}{\bar{\lambda}_k}$ — критерий Пекле; $\text{Bi} = \frac{kx_0}{\bar{\lambda}_k}$ — критерий Био.

Решение уравнения (1.13) при условиях (1.15), (1.16) можно представить в виде разложения в ряд аналогично работе [2]

$$(1.18) \quad \Theta(x, z) = -\kappa^* \text{Pe} \sum_{i=0}^{\infty} \left(\frac{\text{Pe}}{a_{cp}} \right)^i \frac{1}{(2i+2)!} \frac{\partial^{i+1}}{\partial z^{i+1}} [x - \xi(z)]^{2i+2}.$$

Здесь и далее черту над безразмерными величинами опускаем.

Из соотношения (1.18) с учетом условия (1.14) получим для определения функции $\xi(z)$ уравнение

$$(1.19) \quad \sum_{i=1}^{\infty} \left(\frac{\text{Pe}}{a_{cp}} \right)^i \left[\frac{1}{(2i-1)!} \frac{d^i}{dz^i} (1 - \xi)^{2i-1} + \frac{\text{Bi}}{\bar{\lambda}_{cp}} \frac{1}{(2i)!} \frac{d^i}{dz^i} (1 - \xi)^{2i} \right] = \\ = \frac{\text{Bi}}{\kappa^* a_{cp}} (1 - T_c).$$

Уравнение (1.19) при заданной функции T_c необходимо проинтегрировать с учетом условий (1.17).

Полученное уравнение (1.19) удобно использовать для решения обратной задачи (нахождения закона охлаждения слитка) при заданной форме поверхности кристаллизации $\xi(z)$ и глубине жидкой лунки h .

Проведем исследование при $\text{Bi} = \text{const}$, $T_c = \text{const}$. В этом случае, ограничиваясь первым членом ряда в (1.19), с учетом первого условия (1.17) найдем

$$(1.20) \quad \xi(z) = 1 + \frac{\lambda_{cp}}{\text{Bi}} - \sqrt{\frac{2\lambda_{cp}\Delta T}{\kappa^* \text{Pe}}} z + \frac{\lambda_{cp}^2}{\text{Bi}^2},$$

где $\Delta T = 1 - T_c$, или, возвращаясь к размерным величинам, запишем (1.20) в виде

$$(1.21) \quad \xi(z) = x_0 - \frac{\lambda_{cp}}{k} - \sqrt{\frac{2\lambda_{cp}\Delta T}{\kappa^* p_k v}} z + \frac{\lambda_{cp}^2}{k^2}.$$

При бесконечно большой интенсивности теплосъема ($k \rightarrow \infty$) выражение (1.21) совпадает по форме с известным законом «квадратного корня» для задачи Стефана [3]

$$\xi_1(z) = x_0 - \xi(z) = \beta \sqrt{z},$$

где $\xi_1(z)$ — толщина твердой фазы; $\beta = (2\lambda_{cp}\Delta T/\kappa^*\rho_k v)^{1/2}$. Удовлетворяя (1.20), второму условию (1.17), найдем глубину жидкой лунки

$$h = \frac{(1 + 2\lambda_{cp}/Bi)\kappa^*Pe}{2\lambda_{cp}\Delta T},$$

или в размерных величинах

$$(1.22) \quad h = (1/2)A(1 + 2b/x_0)x_0^2v,$$

$$A = \lambda_{cp}\Delta T/\kappa^*\rho_k, \quad b = \lambda_{cp}/k.$$

Отсюда видно, что величина h прямо пропорциональна скорости вытяжки слитка и при $x_0/2b \gg 1$ меняется как квадрат толщины слитка. В случае $x_0/2b \ll 1$ (слабая интенсивность теплосъема) глубина жидкой лунки h зависит линейно от толщины слитка.

Скорость кристаллизации v_k связана со скоростью вытяжки v соотношением [4]

$$v_k = v \sin \varphi,$$

где φ — угол между направлением касательной в некоторой точке поверхности кристаллизации и осью z . Так как $\sin \varphi = -\xi'(z)\{1 + [\xi'(z)]^2\}^{-1}$, то

$$(1.23) \quad v_k = -v\xi'(z)\{1 + [\xi'(z)]^2\}^{-1}.$$

Из (1.21) имеем

$$(1.24) \quad \xi'(z) = A(2Az + vb^2)^{-1}.$$

Подставив (1.24) в (1.23) и перейдя к переменной $y = z/h$, где h определяется выражением (1.22), получим

$$(1.25) \quad v_k = A[(x_0^2 + 2bx_0)y + b^2 + (A/v)^2]^{-1/2}.$$

Следуя [4], определим предельную скорость кристаллизации v_k^* как предел величины v_k при $k, v \rightarrow \infty$. Из (1.25) имеем

$$v_k^* = A/x_0 y^{1/2}.$$

Таким образом, величины v_k и v_k^* монотонно убывают вдоль поверхности кристаллизации. В точке $y = 1$

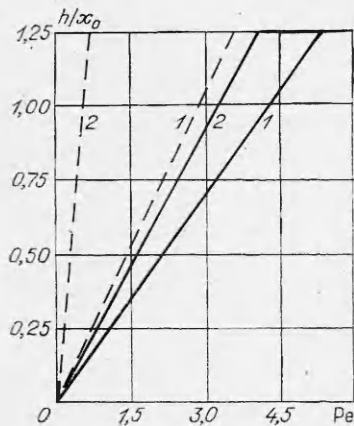
$$(1.26) \quad v_k^* = v_{k1}^* = A/x_0.$$

С учетом (1.26) соотношение (1.25) можно представить в виде

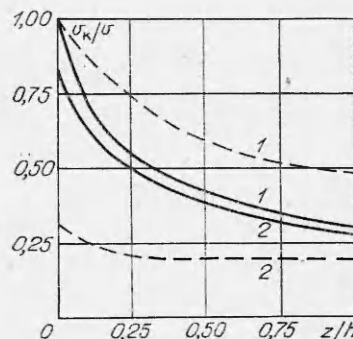
$$(1.27) \quad v_k^* = vv_{k1}^* \{[(1 + 2b/x_0)y + (b/x_0)^2]v^2 + v_{k1}^{*2}\}^{-1/2},$$

следовательно, величина $v_k \rightarrow 0$ как при $k \rightarrow 0$ ($b \rightarrow \infty$), так и при $v \rightarrow 0$. В точке $y = 0$ при $k \rightarrow \infty$ ($b \rightarrow 0$) $v_k \rightarrow v$. Выражение (1.27) при $y = 1$, $k \rightarrow \infty$ ($b \rightarrow 0$) совпадает по виду с формулой работы [4].

Приведем результаты расчета процесса затвердевания алюминиевого слитка толщиной $5 \cdot 10^{-3}$ м при $\Delta T = 620^\circ\text{C}$; $\Delta T_{\text{пер}} = 40^\circ\text{C}$; $\lambda_{\text{ср}} = 208$; $\chi^* = 100$; $\rho_k = 2,53 \cdot 10^3$ и слитка титана толщиной 0,2 м при $\Delta T = 1620^\circ\text{C}$; $\Delta T_{\text{пер}} = 300^\circ\text{C}$; $\lambda_{\text{ср}} = 23$; $\chi^* = 122,17$; $\rho_k = 4,2 \cdot 10^3$ (λ , ккал/м·ч·К; ρ , кг/м³; χ , ккал/кг). На фиг. 2 представлены зависимости



Фиг. 2



Фиг. 3

относительной глубины жидкости в лунке от числа Рей (штриховые линии — алюминиевый слиток: кривая 1 — $\text{Bi} = \infty$, 2 — $\text{Bi} = 0,464$, сплошные — слиток титана: кривая 1 — $\text{Bi} = \infty$, 2 — $\text{Bi} = 4,2$). Фиг. 3 иллюстрирует изменение относительной скорости кристаллизации вдоль фронта затвердевания слитков алюминия и титана при различных значениях чисел Bi (численные значения и обозначения кривых те же, что и на фиг. 2).

Заметим, что проведенный анализ найденного решения ограничен учетом лишь первого члена ряда, однако полученные формулы качественно правильно отражают основные закономерности описываемого процесса затвердевания, что следует из их сопоставлений с известными решениями [1, 2, 4]. Учет второго члена ряда дал в контрольном примере поправку во втором знаке после запятой. При этом ввиду нелинейности дифференциального уравнения (1.19) решение не может быть представлено в аналитическом виде и требует привлечения численных методов.

Связь температуры с величиной $\Theta(x, z)$ устанавливается соотношением (1.12). Для получения явной зависимости функции T от переменных x, z необходимо задать конкретную зависимость теплопроводности от температуры. В достаточно широком интервале изменения температуры эту зависимость можно аппроксимировать линейным законом

$$(1.28) \quad \lambda(T) = \mu + \omega T.$$

Подставив (1.28) в (1.12) и выполнив соответствующие преобразования, получим

$$(1.29) \quad T(x, z) = -\mu/\omega + \sqrt{1 + \mu/\omega)^2 + 2\Theta(x, z)/\omega},$$

где $\Theta(x, z)$ определяется соотношениями (1.18), (1.19). С точностью до

первого члена ряда в (1.18), (1.19) имеем

$$(1.30) \quad \Theta(x, z) = -\lambda_{cp}\Delta T \left(1 - \frac{\lambda_{cp}/Bi + 1 - x}{V A_1 z + (\lambda_{cp}/Bi)^2} \right), \quad A_1 = 2\lambda_{cp}\Delta T/\kappa^* Pe.$$

Таким образом, распределение температуры в твердой фазе слитка в области $0 \leq z \leq h$ будет определяться соотношениями (1.29), (1.30) при линейном законе изменения теплопроводности от температуры (1.28). В общем случае для задания зависимости λ от T , близкой к реальной, можно использовать многочлен более высокой степени, или принять кусочно-линейную аппроксимацию.

Важной характеристикой процесса кристаллизации непрерывного слитка является скорость охлаждения на фронте кристаллизации $v_T = |\partial T / \partial t|_{x=\xi}$, где время t определяется через текущую координату z и скорость вытяжки v соотношением

$$(1.31) \quad t = z/v.$$

Имея в виду, что $\partial\Theta/\partial z|_{x=\xi} = \partial T/\partial z|_{x=\xi}$, из (1.18) найдем

$$(1.32) \quad |\partial T/\partial z|_{x=\xi} = \kappa^* Pe [\xi'(z)]^2.$$

Или, возвращаясь в (1.32) к размерным величинам и принимая во внимание (1.24), (1.31), получим

$$(1.33) \quad v_T = \frac{\lambda_{cp}^2 (T_k - T_c)^2}{\kappa^* \rho_k \lambda_k (x_0 - \xi + \lambda_{cp}/k)^2},$$

где $\xi(z)$ определяется выражением (1.20).

Из (1.33) следует, что скорость охлаждения на фронте кристаллизации при рассматриваемом законе теплоотдачи не зависит от скорости вытяжки и определяется тремя факторами: толщиной слитка, физическими свойствами металла и интенсивностью охлаждения. Наибольшее значение рассматриваемая величина v_T имеет в точке $z = 0$, убывая с ростом z как квадрат эффективной толщины образовавшейся корочки слитка

$$\xi_{\text{эфф}}(z) = x_0 - \xi(z) + \lambda_{cp}/k.$$

Из уравнения (1.32) с учетом (1.23), (1.33) получим соотношение, связывающее скорость охлаждения на фронте кристаллизации со скоростью кристаллизации. В размерных величинах имеем

$$v_T = \frac{\kappa^* \rho_k}{\lambda_k} \frac{v^2 v_k^2}{v^2 - v_k^2}.$$

Очевидно, что для постоянства величины v_T по всему фронту кристаллизации необходимо, чтобы скорость кристаллизации также была величиной постоянной.

Ниже получим условие охлаждения, при котором имеет место постоянство указанных величин. Для этого примем

$$(1.34) \quad \xi = 1 - y, \quad y = z/h,$$

считая, что температура охлаждающей среды (либо число $\text{Bi}(y)$) является неизвестной функцией y . Подставив (1.34) в (1.18) и выполнив соответствующие преобразования, получим

$$\Theta(x, y) = \kappa^* a_{\text{cp}} \sum_{i=1}^{\infty} \frac{1}{i!} [\beta(x - 1 + y)]^i, \quad \beta = \text{Pe}/ha_{\text{cp}}.$$

Последнее можно представить в виде

$$(1.35) \quad \Theta(x, y) = \kappa^* a_{\text{cp}} \{1 - \exp[\beta(x - 1 + y)]\}.$$

Выражением (1.29) с учетом (1.35) определяется распределение температуры в образовавшейся корочке слитка. Дифференцируя функцию $\Theta(x, y)$ из (1.35) по x , найдем значение потока тепла $q(x, y)$ вдоль оси X в произвольной точке (x, y) твердой фазы

$$q(x, y) = \frac{\kappa^* \text{Pe}}{h} \exp[\beta(x - 1 + y)].$$

Отсюда следует, что на поверхности кристаллизации $x = 1 - y$ величина потока тепла q сохраняет постоянное значение, это соответствует условию (1.15). Из соотношений (1.14)–(1.17) с учетом (1.34) найдем выражение для глубины жидкой лунки

$$(1.36) \quad h = \kappa^* \text{Pe}/q_0,$$

где $q_0 = \text{Bi}(0)[1 - T_c(0)]$ — значение потока тепла в точке начала кристаллизации ($x = 1, y = 0$).

Распределение потока тепла по поверхности слитка ($x = 1$) имеет вид

$$q_1 = (\kappa^* \text{Pe}/h)e^{\beta y}.$$

Отсюда видно, что величина $q_1(y)$ при форме жидкой лунки (1.34) является монотонно возрастающей функцией координаты y . Следовательно, интенсивность внешнего теплосъема должна возрастать вдоль направления движения слитка. Такой режим охлаждения можно обеспечить увеличением коэффициента теплопередачи или снижением температуры охлаждающей среды вдоль координаты y . Заметим, что в случае $T_c = \text{const}, \text{Bi} = \text{const}$ поток тепла $q_1(y)$ является монотонно убывающей функцией y (см. (1.30)).

Из условия (1.14) определяется закон изменения $\text{Bi}(y)$ (или $T_c(y)$), требуемый для отвода потока тепла $q_1(y)$. Выражение для $\text{Bi}(y)$ при заданной функции $T_c(y)$ имеет вид

$$\text{Bi}(y) = q_1 [1 + \alpha(1 - e^{\beta y}) - T_c(y)]^{-1}, \quad \alpha = \frac{\kappa^* a_{\text{cp}}}{h_{\text{cp}}},$$

где h определяется соотношением (1.36).

Для положительности величины $\text{Bi}(y)$ необходимо наложить условие

$$(1.37) \quad 1 + \alpha(1 - e^{\beta y}) \geq T_c(y),$$

означающее, что температура поверхности слитка не может быть ниже температуры охлаждающей среды. Подставив в (1.37) выражение для h и выполнив соответствующие преобразования, получим ограничения

сверху на величину q_0 , при которой существует рассматриваемое решение

$$q_0 \leq \kappa^* a_{cp} \ln\{1 + \alpha^{-1}[1 - T_c(h)]\}.$$

Скорость кристаллизации v_k определяется из (1.23) с учетом (1.34),
(1.36)

$$v_k = v[1 + (\kappa^* Pe/q_0)^2]^{-1}.$$

Для безразмерной скорости охлаждения на фронте кристаллизации v_T из (1.32), (1.34), (1.36) имеем

$$v_T = q_0^2/\kappa^* Pe.$$

2. Известные решения задачи Стефана [2, 3, 5] содержат, как правило, предположения о равенстве температуры расплава по всему объему жидкой фазы температуре кристаллизации. Однако в реальных условиях начальная температура жидкого металла превышает температуру кристаллизации на величину перегрева расплава, что сказывается на скорости затвердевания и распределении температур в твердой фазе.

Строгое решение задачи о затвердевании слитка при наличии перегрева расплава связано с необходимостью интегрирования уравнения теплопроводности для жидкой и твердой фаз с условием Стефана на границе их раздела, что представляет принципиальные трудности для аналитических методов и требует привлечения численных методов решения.

Приведем вывод условия Стефана, приближенно учитывающего поток тепла за счет перегрева расплава, для случая затвердевания непрерывных слитков и слитков ограниченных объемов.

В случае непрерывного слитка будем исходить из тех же допущений, что и выше. Тогда условие Стефана на границе раздела фаз при наличии перегрева расплава имеет вид

$$(2.1) \quad \left[\lambda_2 \frac{\partial T_2}{\partial x} - \lambda_1 \frac{\partial T_1}{\partial x} \right]_{x=\xi(z)} = \kappa \rho_k v \xi'(z).$$

Здесь индексами 1, 2 обозначены величины, относящиеся к жидкой и твердой фазам соответственно. Остальные обозначения те же, что и выше.

Уравнение теплопроводности для жидкой фазы

$$\rho_1 C_1 v \frac{\partial T_1}{\partial z} - \frac{1}{x^v} \frac{\partial}{\partial x} \left(x^v \lambda_1 \frac{\partial T_1}{\partial x} \right)$$

проинтегрируем по x от 0 до $\xi(z)$, умножив предварительно его левую и правую части на x^v , где $v = 0$ в случае плоского слитка, $v = 1$ в случае цилиндрического слитка. С учетом условия симметрии $\partial T_1/\partial x|_{x=0}$ получим

$$(2.2) \quad \left[\lambda_1 \frac{\partial T_1}{\partial x} \right]_{x=\xi(z)} = \frac{(C_1 \rho_1)_{cp} v}{\xi^v} \int_0^{\xi} \frac{\partial T_1}{\partial z} x^v dx.$$

При этом величину $C_1 \rho_1$ принимаем равной ее среднему значению в рассматриваемом интервале изменения температуры.

Выражение

$$\int_0^{\xi} \frac{\partial T_1}{\partial z} x^v dx$$

представим в виде

$$(2.3) \quad \int_0^{\xi} \frac{\partial T_1}{\partial z} x^v dx = \frac{\partial}{\partial z} \int_0^{\xi} T_1 x^v dx - T_k \xi^v \xi'.$$

Заменяя величину T_1 , стоящую под знаком интеграла в правой части выражения (2.3), ее средним значением в объеме жидкой фазы, найдем

$$(2.4) \quad \frac{\partial}{\partial z} \int_0^{\xi} T_1 x^v dx = T_{1cp} \xi^v \xi'.$$

Принимая далее $T_{1cp} = (T_0 + T_k)/2$, где T_0 — температура расплава в точке $z = 0$, $x = 0$, и подставив (2.4) в (2.3), получим

$$(2.5) \quad \int_0^{\xi} \frac{\partial T_1}{\partial z} x^v dx = (T_{cp} - T_k) \xi^v \xi'.$$

С учетом выражений (2.2), (2.5) условие (2.1) принимает вид

$$(2.6) \quad \left[\lambda_2 \frac{\partial T_2}{\partial x} \right]_{x=\xi(z)} = \rho_k v \left[\kappa + \frac{(C_1 \rho_1)_{cp}}{2 \rho_k} (T_0 - T_k) \right] \xi'(z).$$

Введя эффективную величину скрытой теплоты плавления

$$\kappa^* = \kappa + \frac{(C_1 \rho_1)_{cp}}{2 \rho_k} (T_0 - T_k),$$

представим соотношение (2.6) в виде

$$[\lambda_2 \partial T_2 / \partial x]_{x=\xi(z)} = \rho_k v \kappa^* \xi'(z).$$

В случае затвердевания ограниченного объема вывод будет аналогичен предыдущему, если вместо координаты z ввести время $t = z/v$.

Таким образом, учет перегрева расплава равносителен увеличению скрытой теплоты плавления на величину, пропорциональную перегреву жидкой фазы с коэффициентом пропорциональности, равным $(C_1 \rho_1)_{cp}/2 \rho_k$.

Авторы выражают благодарность В. Т. Борисову за полезное обсуждение работы.

Поступила 22 IX 1976

ЛИТЕРАТУРА

1. Тихонов И. А., Швидковский Е. Г. Теория непрерывного слитка. — ЖТФ, 1947, т. 17, вып. 2.
2. Любов Б. Я. Вычисление скорости затвердевания металлического слитка. — «Докл. АН СССР», 1949, т. 68, № 5.
3. Вейник А. И. Теория затвердевания отливки. М., Машгиз, 1960.
4. Добаткин В. И. Непрерывное литье и литейные свойства сплавов. М., Оборонгиз, 1948.
5. Темкин Д. Е. Температурное поле в кристаллизующемся слитке цилиндрической формы. — «Инж.-физ. журн.», 1962, т. 5, № 4.